NALM-20

Locus	Allele 1	Allele 2
D5S818	11	13
D13S317	8	12
D7S820	10	12
D16S539	9	10
vWA	14	18
TH01	9	9
TPOX	8	11
CSF1PO	12	12
Amelogenin	X	Y
D3S1358	14	15
D21S11	30	31.2
D18S51	16	17
PentaE	9	18
PentaD	11	13
D8S1179	11	16
FGA	20	21
D19S433	13	14
D2S1338	18	24

SUP-B15

Locus	Allele 1	Allele 2
D5S818	12	13
D13S317	8	14
D7S820	10	11
D16S539	11	12
vWA	15	17
TH01	6	9.3
TPOX	8	9
CSF1PO	11	12
Amelogenin	X	Y
D3S1358	15	16
D21S11	28	31
D18S51	14	14
PentaE	21	21
PentaD	9	12
D8S1179	11	14
FGA	19	20
D19S433	13	15
D2S1338	20	23

TOM-1

Locus	Allele 1	Allele 2
D5S818	11	13
D13S317	8	11
D7S820	10	12
D16S539	9	10
vWA	17	18
TH01	7	9
TPOX	8	11
CSF1PO	10	11
Amelogenin	X	X
D3S1358	16	17
D21S11	31	33.2
D18S51	13	15
PentaE	11	18
PentaD	10	12
D8S1179	13	14
FGA	19	23
D19S433	14	15
D2S1338	18	18

MUTZ-5

Locus	Allele 1	Allele 2
D5S818	11	11
D13S317	10	12
D7S820	10	10
D16S539	10	10
vWA	16	17
TH01	7	7
TPOX	8	11
CSF1PO	8	9
Amelogenin	X	X
D3S1358	15	15
D21S11	29	31.2
D18S51	14	15
PentaE	13	17
PentaD	10	11
D8S1179	10	11
FGA	19	23
D19S433	14	17
D2S1338	19	21

REH

Locus	Allele 1	Allele 2	Allele 3	Allele 4	Allele 5
D5S818	11	12			
D13S317	11	14	10		
D7S820	9	12			
D16S539	9	13			
vWA	14	15	16		
TH01	7	9			
TPOX	8	8			
CSF1PO	12	13			
Amelogenin	X	X			
D3S1358	18	18			
D21S11	28	31	27	30	
D18S51	10	15	14		
PentaE	7	11			
PentaD	10	11			
D8S1179	13	15			
FGA	22	23	13		
D19S433	12	14			
D2S1338	20	22			

MHH-CALL-2

Locus	Allele 1	Allele 2
D5S818	12	12
D13S317	8	8
D7S820	9	9
D16S539	14	14
vWA	18	18
TH01	8	8
TPOX	11	11
CSF1PO	14	14
Amelogenin	X	X
D3S1358	15	15
D21S11	29	30
D18S51	12	14
PentaE	12	12
PentaD	9	12
D8S1179	12	12
FGA	23	23
D19S433	14	14
D2S1338	20	20

MHH-CALL-4

Locus	Allele 1	Allele 2
D5S818	13	13
D13S317	9	10
D7S820	9	11
D16S539	11	11
vWA	17	17
TH01	7	9.3
TPOX	8	11
CSF1PO	11	12
Amelogenin	X	Y
D3S1358	17	17
D21S11	29	31.2
D18S51	13	15
PentaE	7	12
PentaD	9	13
D8S1179	12	14
FGA	21	23
D19S433	15	17
D2S1338	17	17

NALM-16

Locus	Allele 1	Allele 2
D5S818	11	11
D13S317	12	12
D7S820	10	10
D16S539	13	13
vWA	17	17
TH01	8	8
TPOX	11	11
CSF1PO	11	11
Amelogenin	X	X
D3S1358	15	17
D21S11	29	30
D18S51	17	18
PentaE	8	8
PentaD	9	12.4
D8S1179	14	14
FGA	20	20
D19S433	13	13
D2S1338	18	18

KOPN-8

Locus	Allele 1	Allele 2
D5S818	9	11
D13S317	8	11
D7S820	8	10
D16S539	9	11
vWA	16	18
TH01	6	10
TPOX	8	11
CSF1PO	10	12
Amelogenin	X	X
D3S1358	15	16
D21S11	29	29
D18S51	14	22
PentaE	12	20
PentaD	12	13
D8S1179	13	16
FGA	18	21
D19S433	13	14
D2S1338	20	23

SEM

Locus	Allele 1	Allele 2	Allele 3
D5S818	12	12	
D13S317	14	14	
D7S820	10	12	
D16S539	8	10	
vWA	17	17	
TH01	6	10	
TPOX	8	8	
CSF1PO	11	12	
Amelogenin	X	X	
D3S1358	14	17	
D21S11	29	31	30
D18S51	16	17	
PentaE	10	11	
PentaD	11	14	
D8S1179	11	14	
FGA	21	25	
D19S433	13	14	
D2S1338	17	24	

697

Locus	Allele 1	Allele 2
D5S818	11	13
D13S317	11	12
D7S820	10	11
D16S539	11	12
vWA	16	18
TH01	8	9
TPOX	8	11
CSF1PO	11	12
Amelogenin	X	Y
D3S1358	16	18
D21S11	28	32.2
D18S51	16	16
PentaE	7	10
PentaD	10	13
D8S1179	13	13
FGA	20	23
D19S433	12	14
D2S1338	20	21

HAL-01

Locus	Allele 1	Allele 2
D5S818	12	13
D13S317	11	11
D7S820	10	12
D16S539	9	11
vWA	16	17
TH01	6	8
TPOX	8	11
CSF1PO	11	12
Amelogenin	X	X
D3S1358	15	15
D21S11	29	29
D18S51	13	14
PentaE	11	17
PentaD	9	10
D8S1179	13	15
FGA	20	22
D19S433	12	14
D2S1338	18	24

MHH-CALL-3

Locus	Allele 1	Allele 2
D5S818	11	12
D13S317	12	13
D7S820	10	12
D16S539	11	12
vWA	16	16
TH01	6	8
TPOX	8	10
CSF1PO	10	12
Amelogenin	X	X
D3S1358	17	17
D21S11	29	29
D18S51	17	18
PentaE	7	7
PentaD	9	12
D8S1179	11	13
FGA	19	22
D19S433	14	15
D2S1338	9	12

RCH-ACV

Locus	Allele 1	Allele 2
D5S818	11	12
D13S317	9	14
D7S820	10	11
D16S539	11	11
vWA	16	17
TH01	6	8
TPOX	8	11
CSF1PO	10	11
Amelogenin	X	X
D3S1358	15	15
D21S11	29	31.2
D18S51	13	16
PentaE	7	11
PentaD	9	10
D8S1179	13	15
FGA	23	26
D19S433	14	14
D2S1338	17	18

NC-NC

Locus	Allele 1	Allele 2
D5S818	11	11
D13S317	12	13
D7S820	9	9
D16S539	12	13
vWA	14	15
TH01	7	9.3
TPOX	8	8
CSF1PO	10	12
Amelogenin	X	X
D3S1358	14	18
D21S11	29	30
D18S51	12	16
PentaE	5	10
PentaD	11	12
D8S1179	13	14
FGA	20	24
D19S433	14	15
D2S1338	18	22

Fig. S1: STR-profiles of all cell lines used in this study. STR-profiling was performed at the DSMZ according to standardized protocols.

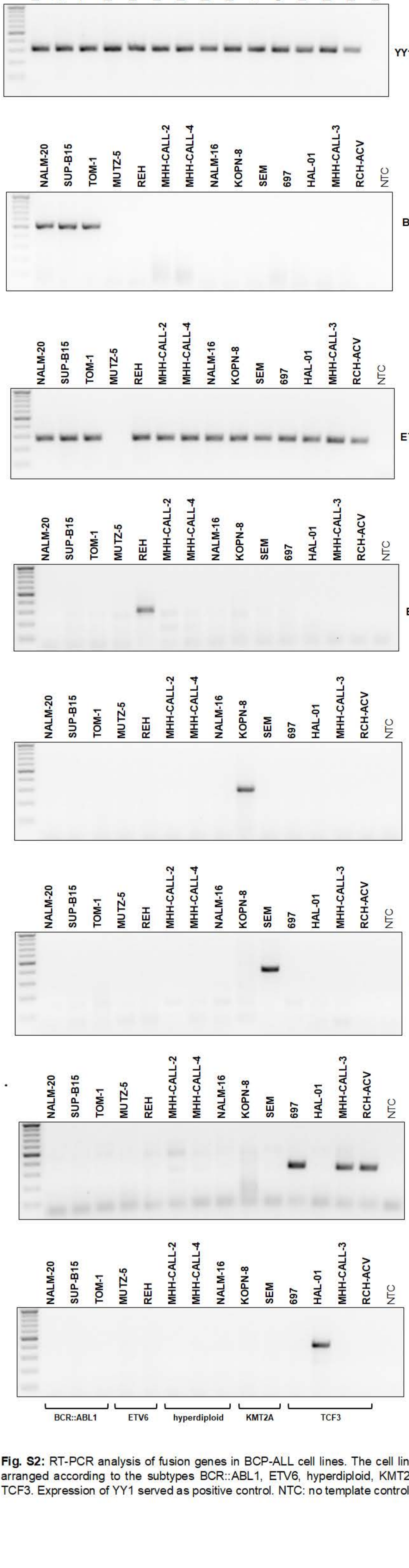


Fig. S2: RT-PCR analysis of fusion genes in BCP-ALL cell lines. The cell lines are arranged according to the subtypes BCR::ABL1, ETV6, hyperdiploid, KMT2A and TCF3. Expression of YY1 served as positive control. NTC: no template control.



Fig. S3: Expression profiling data for MEIS1, TBX21, MSX1, ERG, EOMES and NKX6-3 from BCP-ALL patients (dataset GSE79533). The patients are arranged according to the subtypes BCR::ABL1, ZNF384, ETV6, hyperdiploid, KMT2A and TCF3.